

ЧИСЛЕННОЕ МОДЕЛИРОВАНИЕ ПРОЦЕССА ПЕРЕМАГНИЧИВАНИЯ НЕОДНОРОДНЫХ ЦИЛИНДРИЧЕСКИХ КВАЗИОДНОДОМЕННЫХ ЧАСТИЦ

В рамках теории микромагнетизма без учета магнитостатических полей рассеяния проведено численное моделирование процесса перемагничивания квазиоднодоменных цилиндрических частиц SmCo₅ с поверхностным слоем Co. Установлены зависимости полей разрушения однородно намагниченного состояния и коэрцитивной силы от размера частиц при фиксированной и переменной толщине поверхностного слоя в случае резкой и непрерывной границы между SmCo₅ и Co. Показано, что эти зависимости могут иметь качественно различный характер.

Основные представления о магнитном поведении идеально однородных квазиоднодоменных частиц были разработаны в 50-60-х годах Кондорским, Брауном и группой Фрея [1-3] и развиты позднее рядом авторов (см. [4, 5]).

Продолжением этих работ стали теоретические исследования неоднородных квазиоднодоменных частиц, проведенные в 90-х годах [6-10], в которых было изучено влияние поверхностной неоднородности на устойчивость их однородно намагниченного состояния (ОНС). При этом в рамках теории микромагнетизма в линейном приближении определялось лишь критическое поле разрушения ОНС. Анализ же всего процесса перемагничивания таких частиц пока не проводился.

Поэтому в настоящей работе в рамках теории микромагнетизма проведено моделирование всего процесса перемагничивания неоднородных неограниченных по длине цилиндрических частиц SmCo₅ с поверхностным слоем (ПС) Co. Геометрия задачи представлена на рисунке 1.

Граница между ядром частицы и поверхностным слоем аппроксимировалась либо резкой переходной областью, на которой магнитные параметры меняются скачком, либо непрерывной переходной областью, в которой магнитные параметры линейно изменяются от их значений в ядре частицы к значениям в поверхностном слое. Поверхностный слой частицы имеет толщину l , непрерывная переходная область – толщину D , а ось легкого намагничивания направлена по оси симметрии цилиндра.

Распределение намагниченности в цилиндрических координатах зададим в форме:

$$\begin{aligned}\lambda_1(\rho, \phi, z) &= -\sin \omega(\rho) \cdot \sin \phi, \lambda_2(\rho, \phi, z) = \\ &= \sin \omega(\rho) \cdot \cos \phi, \lambda_3(\rho, \phi, z) = \cos \omega(\rho),\end{aligned}$$

где $\omega(\rho)$ – угол между вектором намагниченности M_s и осью Z, зависящий только от ρ . В связи с огромной магнитной анизотропией соединения SmCo₅ в данном случае не учитывались: магнитоупругие эффекты, поверхностная энергия и энергия магнитостатических полей рассеяния. Тогда полную энергию на единицу длины цилиндра можно представить в виде:

$$W = 2\pi \int_0^P \rho d\rho \left\{ A \left[\omega^2 + \sin^2 \omega / \rho^2 \right] + \right. \\ \left. + K \sin^2 \omega - HM_s \cos \omega \right\}, \quad (1)$$

где $P = R+l$.

В исходном однородно намагниченном состоянии векторы намагниченности M_s ориентированы вдоль оси Z ($\omega[\rho] = 0$), а положительное направление внешнего магнитного поля H совпадает с направлением конечного однородно намагниченного состояния ($\omega[\rho] = \pi$). Реализующееся неоднородное распределение векторов намагниченности M_s определяется из условия минимума (1).

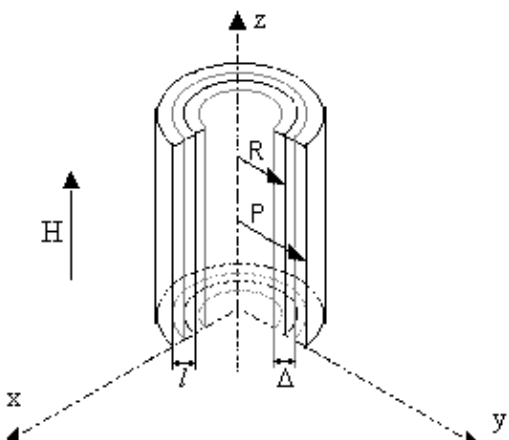


Рисунок 1. Геометрия неоднородной цилиндрической частицы SmCo₅ с поверхностным слоем Co.

Представим (1) в виде суммы интегралов:

$$W = 2\pi \int_0^P A(\rho) \rho \omega^2 d\rho + 2\pi \int_0^P [A(\rho)/\rho + K(\rho)\rho] \sin^2 \omega d\rho - \\ - 2\pi H \int_0^P M_s(\rho) \rho \cos \omega d\rho. \quad (2)$$

Заменим каждый интеграл (2) суммой, в пределе к нему сходящейся. Для аппроксимации используем формулу прямоугольников с центральным выбором точек.

Пусть A_1, K_1, M_{s1} – параметры ядра частицы, A_2, K_2, M_{s2} – параметры поверхностного слоя частицы. Зададим непрерывную переходную область, распределив половину ее длины на поверхностную часть ядра частицы, а вторую половину переходной области – на внутреннюю часть поверхностного слоя. Каждый из слоев частицы разобьем на n равных отрезков, т. е.

Тогда:

$$W \approx \sum_{i=0}^{n-1} 2\pi A_1 (\rho_i + h_i/2) (\omega_{i+1} - \omega_i)^2 / h_i + \\ + \sum_{i=n}^{2n-1} 2\pi (A_1 + A_\Delta(i-n)) (\rho_i + h_\Delta/2) (\omega_{i+1} - \omega_i)^2 / h_\Delta + \\ + \sum_{i=n}^{3n-1} 2\pi A_2 (\rho_i + h_2/2) (\omega_{i+1} - \omega_i)^2 / h_2 + \\ + \sum_{i=0}^{3n-1} 2\pi h_1 (K_1 (\rho_i + h_i/2) + A_1 / (\rho_i + h_i/2)) \cdot \\ \cdot \sin^2 ((\omega_{i+1} + \omega_i)/2) + \\ + \sum_{i=n}^{2n-1} 2\pi h_\Delta (K_1 + K_\Delta(i-n)) (\rho_i + h_\Delta/2) + \\ + (A_1 + A_\Delta(i-n)) / (\rho_i + h_\Delta/2) \sin^2 ((\omega_{i+1} + \omega_i)/2) + \\ + \sum_{i=2n}^{3n-1} 2\pi h_2 (K_2 (\rho_i + h_2/2) + A_2 / (\rho_i + h_2/2)) \cdot \\ \cdot \sin^2 ((\omega_{i+1} + \omega_i)/2) - \\ - 2\pi H \left(\sum_{i=0}^{n-1} M_{s1} h_i (\rho_i + h_2/2) \cos ((\omega_{i+1} + \omega_i)/2) + \right)$$

$$\sum_{i=n}^{2n-1} (M_{s1} + M_{s\Delta}(i-n)) h_\Delta (\rho_i + h_\Delta/2) \cos ((\omega_{i+1} + \omega_i)/2) = \\ = \sum_{i=2n}^{3n-1} M_{s2} h_2 (\rho_i + h_2/2) \cos ((\omega_{i+1} + \omega_i)/2), \quad (3)$$

где h_1, h_Δ, h_2 – соответственно шаги разбиения отрезков $[0; R-D/2], [R-D/2; R+D/2], [R+D/2; P]$.

В таком виде функционал W можно трактовать как функцию, определенную в $(3n+1)$ -мерном пространстве обобщенных координат $\{\omega_i\}_{3n+1}$. Минимум этой функции соответствует минимуму функционала при предельном отображении пространства координат на множество функций $\{\omega(\rho)\}_\infty$. Задача сводится к нахождению минимума функции $(3n+1)$ переменных (3). Поиск локального минимума W реализуется методом наискорейшего градиентного спуска [11].

Вышеописанным способом производился расчет процесса перемагничивания частиц $SmCo_5$ с поверхностным слоем Co. Рассматривались следующие виды частиц:

1. Неоднородные цилиндрические частицы с резкой границей и фиксированной толщиной поверхностного слоя ($l = 10$ нм).
2. Неоднородные цилиндрические частицы с фиксированной толщиной непрерывной переходной области ($D = 10$ нм) и фиксированной толщиной поверхностного слоя ($l = 10$ нм).
3. Неоднородные цилиндрические частицы с определенным процентным содержанием от диаметра частицы толщины непрерывной переходной области и поверхностного слоя.

На рисунке 2 показаны зависимости полей разрушения однородно намагниченного состояния (H_0) и коэрцитивной силы (H_c) от диаметра частицы для случаев 1 и 2.

Как видно из рисунка, величины H_0 и H_c могут существенно отличаться (что не предполагалось в работах, опубликованных ранее), а зависимости $H_0(R)$ и $H_c(R)$ имеют качественное различие. Рост H_c и незначительное увеличение H_0 с увеличением размера частицы определяется уменьшением относительного объема поверхностного слоя Co в ней, а последующее падение H_c обусловлено

облегчением процесса перемагничивания ядра частицы неоднородным вращением намагченности при размерах, больших критического размера абсолютной однодоменности (d_c).

На рисунке 3 представлены зависимости H_0 и H_c от размера частицы для случая 3. Как видно, H_0 резко уменьшается с ростом R , что обусловлено увеличением абсолютной толщины ПС и облегчением образования в нем зародыша перемагничивания. Зависимость $H_c(R)$ характеризуется наличием одного (при $l=0,02R$) и двух (при $l=0,2R$) максимумов. Возможность появления таких максимумов прогнозировалась в предшествующих наших работах (см., например, [10]). По мере увеличения ПС зародыш перемагничивания все более локализуется в нем,

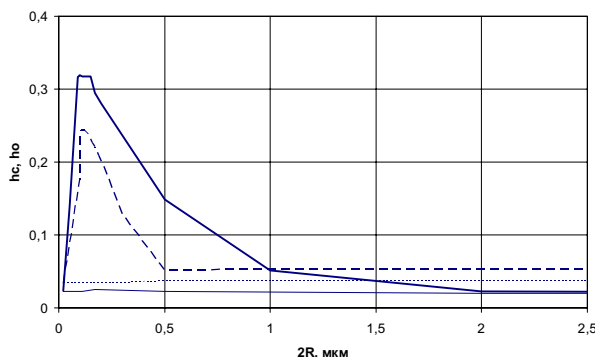


Рисунок 2. Зависимости h_o ($h_o = [H_o \chi M_{SI}] / [2K_I]$) и h_c ($h_c = [H_c \chi M_{SI}] / [2K_I]$) от диаметра неоднородных цилиндрических частиц с фиксированной толщиной поверхностного слоя $l = 10$ нм и резкой ($D = 0$) или непрерывной ($D = 10$ нм) переходной областью (— — $H_o(R)$ в случае резкой границы, - - - $H_c(R)$ в случае непрерывной переходной области) для случая разрушения однородно намагниченного состояния для случая резкой границы, — поля разрушения однородно намагниченного состояния для случая непрерывной переходной области SmCo_5 .

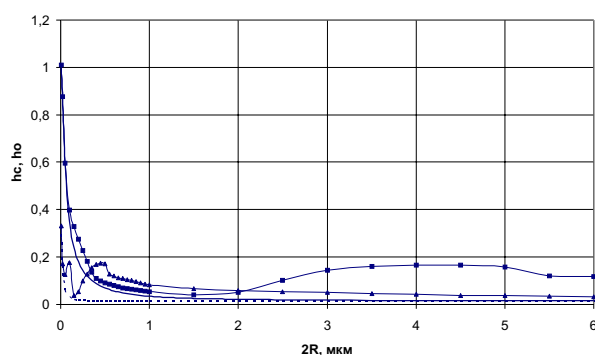


Рисунок 3. Зависимости h_o и h_c от диаметра неоднородных цилиндрических частиц при толщине поверхностного слоя $0,2R$ (---) и $0,02R$ (—) и непрерывной переходной области ($D = 0,2R$ и $0,02R$ соответственно).

а «выход» его в ядро частицы затрудняется. Максимум H_c соответствует свободному размещению зародыша обратной намагченности (ЗОН) в ПС. Последующее падение коэрцитивной силы в первую очередь связано с увеличением толщины переходной области D (т.е. уменьшением градиента магнитных параметров в ней), а следовательно, облегчением выхода ЗОН в ядро частицы. Но наличие двух максимумов на зависимости $H_c(R)$ кажется неожиданным.

Рис. 4а.

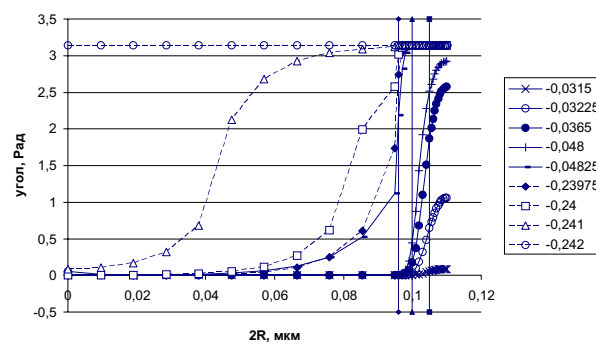


Рис. 4б.

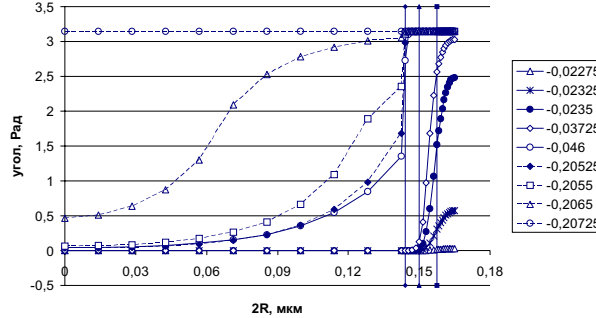


Рис. 4в.

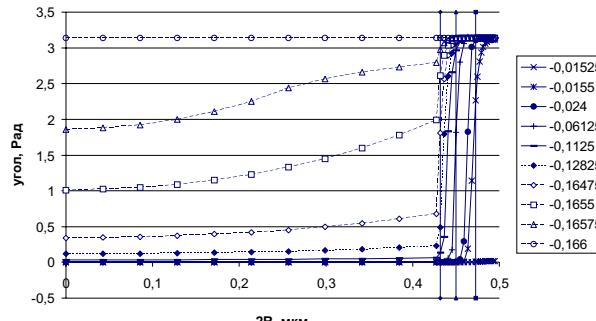


Рисунок 4. Изменение распределения намагченности в неоднородной цилиндрической частице при толщине поверхностного слоя $0,2R$ и непрерывной переходной области ($D = 0,2R$) в процессе перемагничивания (\blacklozenge — начало ПО, \blacksquare — конец ПО, \blacktriangle — граница между ядром частицы и поверхностным слоем):
а) $2R = 0,1$ мкм, б) $2R = 0,15$ мкм, в) $2R = 0,45$ мкм.

Для объяснения такой зависимости $H_c(R)$ необходимо обратиться к кривым распределения намагниченности в частице, соответствующим первому (рис. 4а), второму (рис. 4в) максимумам и минимуму между ними (рис. 4б) H_c и соответствующим петлям гистерезиса (рис. 5а, в, б). У рисунков 4 справа в столбце указаны значения полей {в единицах $(HCM_{S1})/(2K_1)$ }, для которых показаны кривые распределения намагниченности в ядре и поверхностном слое частиц. На рисунках 5 значения полей также приведены в единицах $(HCM_{S1})/(2K_1)$.

Рисунки 4, 5 свидетельствуют о том, что первый максимум на зависимости $H_c(R)$ при $l = 0,2R$ связан с относительно свободным размещением ЗОН в ПС и переходной области, а второй – с размещением ЗОН исключительно в ПС.

Таким образом, моделирование всего процесса перемагничивания неоднородных частиц показывает:

1. Численные значения полей разрушения однородно намагниченного состояния и полей перемагничивания неоднородных частиц могут очень сильно отличаться.

2. Зависимости поля разрушения однородно намагниченного состояния $H_o(R)$ и коэрцитивной силы $H_c(R)$ для неоднородных квазиоднодоменных частиц могут иметь качественно различный характер.

Список использованной литературы:

- Кондорский Е.И. Природа высокой коэрцитивной силы мелкодисперсных ферромагнетиков и теория однодоменной структуры // Изв. АН СССР. Сер. физ. Т. 16. С. 398-411.
- Браун У.Ф. Микромагнетизм. М., 1979.
- Frei E.H., Shtrikman S., Treves D. Critical size and nucleation field of ideal ferromagnetic particles // Phys. Rev. 1957. V. 106. P. 446-455.
- Aharoni A. Magnetization curling // Phys. Stat. Sol. 1966. V. 16. P. 3-42.
- Кандаурова Г.С., Оноприенко Л.Г. Доменная структура магнетиков. Основные вопросы микромагнетики: Учебное пособие. Свердловск, 1986.
- Крюков И.И., Манаков Н.А. Микромагнетизм двухфазных квазиоднодоменных частиц // ФММ. 1983. Т. 56. С. 5-8.
- Крюков И.И., Манаков Н.А., Садков В.Б. Микромагнетизм двухфазных квазиоднодоменных сферических частиц // ФММ. 1985. Т. 59. С. 455-462.
- Крюков И.И., Манаков Н.А., Шилин В.М. Микромагнетизм двухфазных цилиндрических частиц // ФММ. Иркутск, 1984. С. 106-109.
- Крюков И.И., Манаков Н.А., Садков В.Б. К вопросу о mode перемагничивания бесконечного двухфазного цилиндра // Физика и техника магнитных явлений. Куйбышев, 1986. С. 6-11.
- Крюков И.И., Манаков Н.А., Садков В.Б. Влияние поверхностной неоднородности на магнитное поведение мелких частиц // Физика магнитных материалов. Калинин, 1988. С. 4-18.
- Бахвалов Н.С., Жидков Н.П., Садков В.Б. Численные методы. М.: Наука, 1987. 600 с.

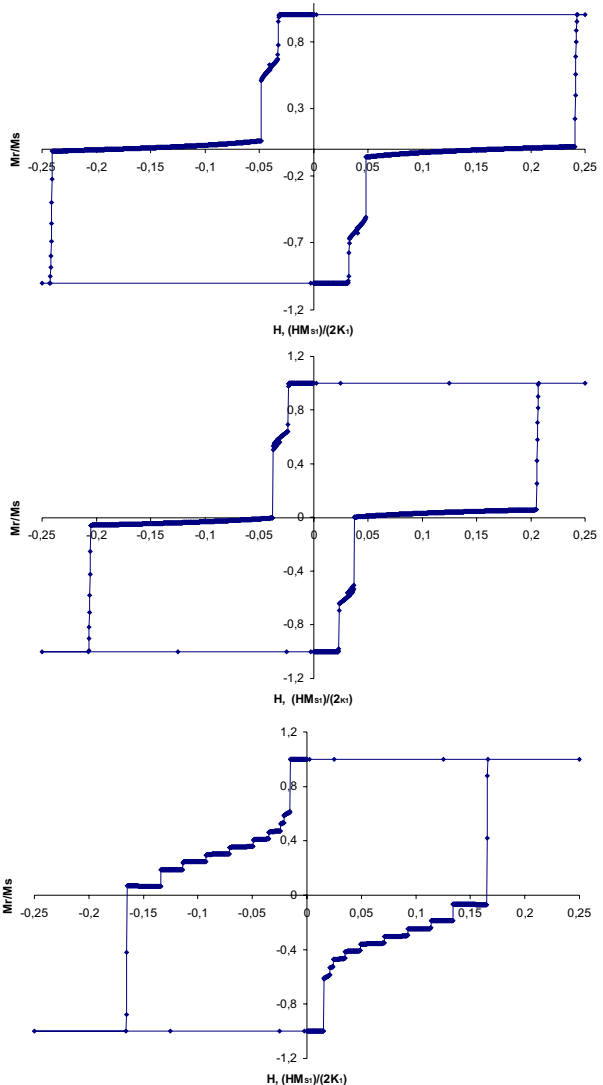


Рисунок 5. Петли гистерезиса неоднородной цилиндрической частицы при толщине поверхностного слоя $0,2R$ и непрерывной переходной области ($D = 0,2R$):
а) $2R = 0,1$ мкм, б) $2R = 0,15$ мкм, в) $2R = 0,45$ мкм.